



Инженерные системы – 2014  
Инжиниринговая компания «ТЕСИС»  
Труды международного форума

# Инженерные системы – 2014

7–8 апреля 2014



Москва 2014

## Экономический эффект

По предварительной оценке экономический эффект от внедрения данного подхода на одном блоке, где действие падающего самолёта является определяющим, лежит в пределах 500 млн. рублей.

## Список литературы

1. А.Н. Бирраер. Расчет конструкций на сейсмостойкость. Санкт-Петербург, «Наука», 1998.
2. Simulia: Abaqus Analysis User's Manual. Version 6.13
3. ASCE 4-98. ASCE STANDARD. Seismic ANALYSIS of safety Related Nuclear Structures and Commentary. Approval 1992

## РАСЧЕТ АМПЛИТУДНО-ЧАСТОТНЫХ ХАРАКТЕРИСТИК УЛЬТРАЗВУКОВЫХ ПРЕОБРАЗОВАТЕЛЕЙ ПРОДОЛЬНЫХ И ПРОДОЛЬНО-КРУТИЛНЫХ КОЛЕБАНИЙ С ПОМОЩЬЮ ПАКЕТА ABAQUS

Лавриненков А.Д., ассистент

НТУУ «КПИ», г. Киев, Украина

### Введение

В абсолютном большинстве работ по применению ультразвука в технологических процессах используются волновые,  $1/2$ -волновые и  $3/2$ -волновые преобразователи ультразвуковых колебаний с поперечным сечением в виде круга и с концентраторами ультразвуковых колебаний ступенчатой, экспоненциальной, конической и других форм.

Для расчета ультразвуковых преобразователей, как простой, так и сложной геометрии для получения крутильных колебаний используется метод конечных элементов.

### Постановка задачи

Для исследования использовался  $1/2$ -волновой пьезоэлектрический преобразователь продольных колебаний (рис. 1) рассчитанный аналитическим способом.

При повышенных скоростях обработки (свыше 20 м/мин) на поверхности детали из титановых сплавов появляются надрывы, что может привести к формированию микротрешин на поверхности и в приповерхностном слое детали при дальнейшей эксплуатации.

В связи с этим возникает вопрос о наложении на инструмент комплексных ультразвуковых колебаний, как например, продольно-крутильных, для уменьше-

ния адгезионных сил трения, которые ограничивают применение процесса для упрочнения титановых сплавов.

**Целью работы** являлся расчет волнового преобразователя с концентратором продольно-крутильных колебаний на базе  $1/2$ -волнового преобразователя продольных колебаний методом конечных элементов (КЭ) в среде пакета Abaqus.

Было проведено моделирование  $1/2$ -волнового преобразователя продольных колебаний (рис. 1) по схеме, представленной на рис. 2.

Преобразователь колебаний состоит из ступенчатого концентратора 1, материала которого является сталь 30ХГСА, двух пьезоэлектрических колец 2 из пьезокерамики РСМ-41, накладки 3 из стали 40Х13, все детали сгибаются в один пакет с помощью шпильки 4 и гайки 5 из стали 40Х.

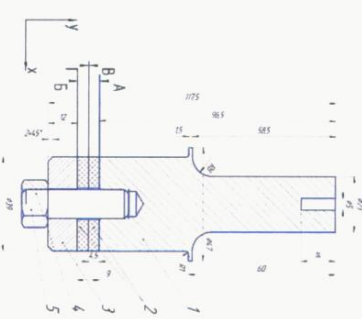


Рис. 1 -  $1/2$ -волновой преобразователь продольных колебаний

Рис. 2 - Расчетная схема  $1/2$ -волнового преобразователя продольных колебаний:  
1 - концентратор продольных колебаний,  
2 - пьезоэлектрические кольца, 3 - накладка,  
4 - шпилька, 5 - гайка; А, Б, В, Г - поверхности приложения электрического потенциала

Преобразователь моделировался в осесимметричной и объемной постановке, с дальнейшим сравнением полученных амплитудно-частотных характеристик с характеристиками реального преобразователя. При моделировании между всеми деталями волновода здавалась связь, моделирующая акустический контакт. К поверхности А, Б, В и Г прикладывался электрический потенциал.

Свойства металлических деталей преобразователя задавались коэффициентом Пуассона, модулем Юнга, также здавалась плотность материала.

Пьезокерамика РСМ-1 характеризуется диэлектрическими, механическими и пьезоэлектрическими свойствами.

Направление поляризации пьезокерамических колец соответствовало оси Y.

Расчет состоит из двух анализов:

1) частотного анализа, который позволяет определять собственные частоты, формы и тона колебаний преобразователя. В качестве решателя частотного анализа был выбран решатель Lanczos. На всех 4-х поверхностях пьезокерамических колец действует нулевое напряжение.

2) совместный пьезоэлектрический анализ и отклик системы на гармоническое возбуждение, который позволяет определять амплитуды колебаний и напряжения в тече преобразователя.

В реальности между всеми деталями преобразователя существует акустический контакт, обеспечивающий прохождение ультразвуковой волны по всей длине преобразователя и гарантирующий стягиваниеем всех деталей в пакет болтом. Для моделирования акустического контакта между деталями преобразователя использовался коннектор Tie.

Типом конечного элемента для металлических деталей осесимметричной модели был выбран 4-х узловой билинейный осесимметричный четырехсторонний элемент САХ4Р, пьезоэлектрических дисков - 4-х узловой билинейный осесимметричный пьезоэлектрический четырехсторонний элемент САХ4Е. Типом конечного элемента для металлических деталей объемной модели был выбран 10-ти узловой тетраэдр С3Д10, для пьезоэлектрических дисков - 10-ти узловой тетраэдр С3Д10Е.

Замер амплитуды продольных колебаний производился бесконтактным емкостным виброметром BM1-1. Замер амплитуды крутильных колебаний свободного торца концентратора продольно-крутильных колебаний производился оптическим методом с помощью лазерного луча, направленного на зеркальце, которое было закреплено на цилиндрической поверхности концентратора у кромки торца. Для замера собственных частот использовался генератор сигналов Г3-33.

В месте перехода со ступени большего диаметра на ступень меньшего диаметра концентратора действуют максимальные интенсивности напряжений величиной 175 - 195 МПа (рис. 3а, рис. 4а). Максимальная амплитуда колебаний соответствует рабочему торцу концентратора и составляет в среднем 27-30 мкм (рис. 3б, рис. 4б).

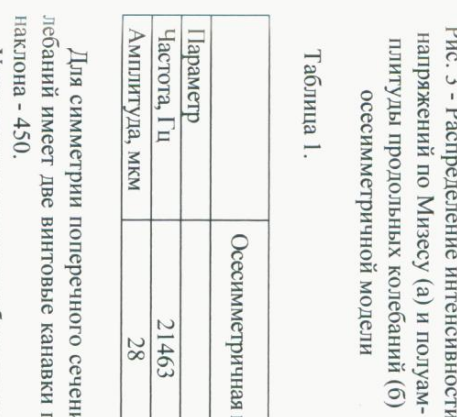


Рис. 3 - Распределение интенсивности напряжений по Мизесу (а) и полуамплируды продольных колебаний (б) осесимметричной модели

Таблица 1.

	Оссимметричная М-ль	Объемная М-ль	Реальный волновод
Параметр			
Частота, Гц	21463	21444	21000
Амплитуда, мкм	28	27	43

Для симметрии поперечного сечения концентратор продольно-крутильных колебаний имеет две винтовые канавки глубиной - 5 мм, шириной - 4 мм и с углом наклона - 45°.

Уменьшение длины преобразователя с концентратром продольно-крутильных колебаний по сравнению с волновым преобразователем продольно-крутильных колебаний составила 14,5 мм.

Упругие деформации преобразователя представлены на рис. 5. Максимальные интенсивности напряжений соответствует углублением винтовых канавок, в отличие от 1/2 волнового преобразователя, у которого максимальные напряжения соответствует месту перехода со ступени большего диаметра на ступень меньшего диаметра концентратора (рис. 6). По размерам, полученным в результате расчета, был изготовлен концентратор продольно-крутильных колебаний (рис. 7), с помощью шпильки соединен с 1/2-волновым преобразователем продольных колебаний.

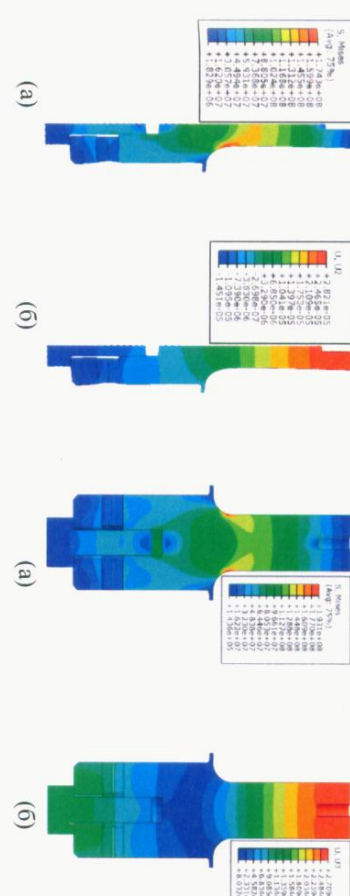


Рис. 4 - Распределение интенсивности напряжений по Мизесу (а) и полуамплируды продольных колебаний (б) объемной модели

# ИССЛЕДОВАНИЕ НАПРЯЖЕННО-ДЕФОРМИРОВАННОГО СОСТОЯНИЯ ВЕРХНЕЙ ТРЕТИ БЕДРЕННОЙ КОСТИ ПРИ ЕЕ МЕЖВЕРТЕЛЬНОМ ПЕРЕЛОМЕ И НАКОСТНОЙ ФИКСАЦИИ С ПРИМЕНЕНИЕМ ШЕЧНОГО ВИНТА СО СПИРАЛЕВИДНОЙ РЕЗЬБОЙ

Левадный Е.В.<sup>1</sup>, Нушибаев Д.В.<sup>2</sup>

<sup>1</sup>Днепропетровский национальный университет имени Олеся Гончара,  
г. Днепропетровск, Украина

<sup>2</sup>ООО «ТЕСИС», г. Москва, Россия

## Введение

Одним из серии численных анализов применения различных типов фиксации межвертельного перелома бедренной кости был выбран способ внешней накостной фиксации угловой пластиной с одним шеечным винтом со спиралевидной резьбой.

Была построена необходимая геометрическая модель, отвечающая с одной стороны листаточным требованиям для проведения сравнительного анализа, и с другой стороны – необходимым требованиям для качественной оценки конструкции, а также конечно-элементная модель для выполнения численного анализа. Проведены расчеты с целью определения напряжений и установившихся положений бедренной кости с накостной фиксацией с применением накостного имплантата.

частотно - амплитудные характеристики рабочего торца преобразователя, полученные в результате расчета, и реального преобразователя занесены в таблицу 2.

Таблица 2.

	КЭ модель	Реальный волновод
Параметр		
Частота, Гц	22191	21900
Амплитуда продольных кол-й, мкм	23	34
Амплитуда крутильных кол-й, мкм	15	10-11

## Выводы

Использование осесимметричной модели при моделировании преобразователя значительно сокращает время расчета без потери точности определения амплитудно-частотных характеристик преобразователя в сравнении с объемной моделью.

Добавление концентратора продольно-крутильных колебаний с винтовыми канавками к 1/2 - волновому преобразователю приводят к увеличению резонансной частоты и уменьшению резонансной длины продольных колебаний, при которой узел амплитуд колебаний будет располагаться в месте крепления преобразователя в корпусе. Погрешность расчета собственных частот продольных колебаний преобразователя составила 1,5 %.



**Цель:** Определить особенности распределения нагрузок в бедренной кости при использовании накостного имплантата с шеечным винтом со спиралевидной резьбой при различных прочностных характеристиках костных тканей, соответствующих нормальному и остеопоротическому состоянию.

## Геометрическая модель

### Бедренная кость

Компьютерная томография бедренной кости выполнена на спиральном рентгеновском томографе Siemens, шаг среза составил 2 мм. Генерация трехмерной твердотельной модели бедренной кости проведена с применением компьютерной системы обработки медицинских изображений. Усредненная виртуальная стереолитографическая модель (STL-модель) обработана с использованием различных масок и фильтров таким образом, чтобы максимально сохранить особенности анатомического строения кости. STL-модель была преобразована в твердотельную модель с применением CAD-пакета SolidWorks.